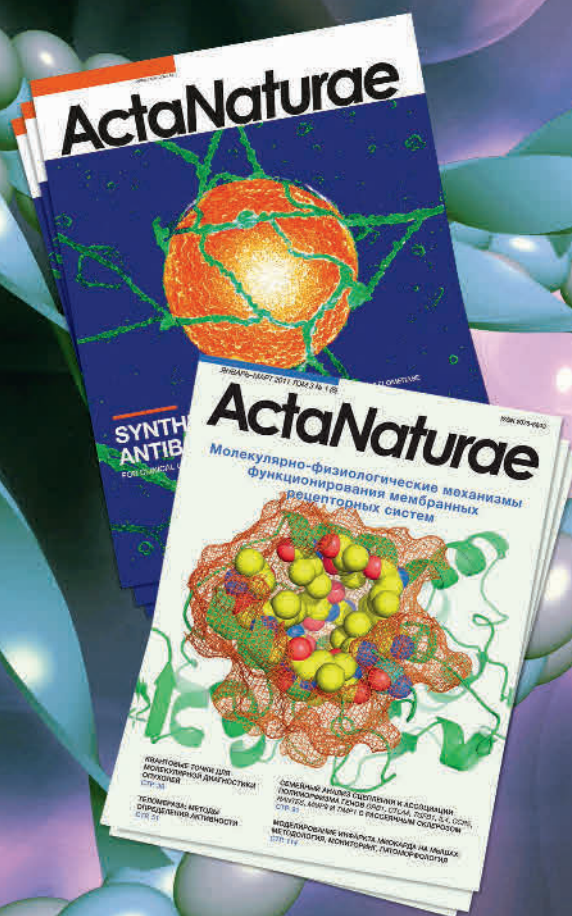


ПОДПИСКА НА ЖУРНАЛ

# Acta Naturae

Журнал *Acta Naturae* уделяет особое внимание междисциплинарному характеру исследований и разработок, которые находятся на стыке различных сфер биологических специальностей – молекулярной биологии, биохимии, молекулярной генетики и биологической медицины.

*Acta Naturae* издается компанией «Парк-медиа» на русском и английском языках и входит в Перечень ведущих периодических изданий Высшей аттестационной комиссии Министерства образования и науки РФ и реферативную базу данных PubMed.



## ПОДПИСКА В РЕДАКЦИИ:

119234, Москва, Ленинские горы, 1, владение 75Г  
Телефон: +7 (495) 930-87-07, 930-88-51  
Bio-Mail: [podpiska@bioif.ru](mailto:podpiska@bioif.ru)  
Web site: [www.actanaturae.ru](http://www.actanaturae.ru)

## ПОДПИСКА ПО КАТАЛОГАМ НА ПОЧТЕ И ЧЕРЕЗ ИНТЕРНЕТ:

РОСПЕЧАТЬ  
Индексы: 37283, 59881  
[www.pressa.rossp.ru](http://www.pressa.rossp.ru)

ИНФОРМНАУКА  
Индекс: 59881  
[www.informnauka.com](http://www.informnauka.com)

ИНТЕР-ПОЧТА  
Индекс: 17510  
[www.interpochta.ru](http://www.interpochta.ru)

## ИНФОРМАЦИЯ ДЛЯ АВТОРОВ:

Если Вы хотите опубликовать свою работу в журнале *Acta Naturae*, пишите на [journal@bioif.ru](mailto:journal@bioif.ru) и звоните по телефону: 8 (495) 930-87-07



УДК 57.021.6:615.214.2

# Молекулярный механизм действия Ноопепта – замещенного Pro-Gly-дипептида

Ю. В. Вахитова<sup>1,2\*</sup>, С. В. Садовников<sup>2</sup>, С. С. Борисевич<sup>2,3</sup>, Р. У. Островская<sup>1</sup>, Т. А. Гудашева<sup>1</sup>, С. Б. Середенин<sup>1</sup>

<sup>1</sup>Научно-исследовательский институт фармакологии им. В.В. Закусова, 125315, Москва, ул. Балтийская, 8

<sup>2</sup>Институт биохимии и генетики Уфимского научного центра РАН, 450065, Уфа, просп. Октября, 71

<sup>3</sup>Уфимский институт химии РАН, 450065, Уфа, просп. Октября, 71

\*E-mail: juvv73@gmail.com

Поступила в редакцию 16.06.2015

Принята к печати 10.09.2015

**РЕФЕРАТ** Изучено влияние Ноопепта (этиловый эфир N-фенилацетил-L-пролилглицина) на ДНК-связывающую активность транскрипционных факторов (ТФ) в клетках линии НЕК293, транзистентно трансфицированных люциферазными репортерными конструкциями, содержащими сайты связывания ТФ: CREB, NFAT, NF-κB, p53, STAT1, GAS, VDR, HSF1 и HIF-1. Показано, что Ноопепт (10 мкМ) увеличивал ДНК-связывающую активность только HIF-1 и не влиял на активность CREB, NFAT, NF-κB, p53, STAT1, GAS, VDR и HSF1. Выраженность HIF-позитивного эффекта Ноопепта зависела от его концентрации. В условиях стабилизации HIF-1, вызванной индуктором гипоксии CoCl<sub>2</sub>, Ноопепт обеспечивал дополнительное повышение ДНК-связывающей активности HIF-1. Пирацетам (1 мМ) не вызывал значимых изменений ДНК-связывающей активности ТФ. Результаты молекулярного докинга показали, что Ноопепт (L-изомер), а также метаболит Ноопепта – L-изомер N-фенилацетилпролина – способны связываться с активным сайтом пролилгидроксилазы 2. Данные о вызываемом Ноопептом селективном увеличении ДНК-связывающей активности HIF-1 с учетом функциональной значимости генов, активируемых этим фактором транскрипции, объясняют выявленные ранее нейрорхимические и фармакологические эффекты Ноопепта, что дает основание рассматривать HIF-позитивный эффект в качестве первичного механизма действия этого дипептида.

**КЛЮЧЕВЫЕ СЛОВА** гипоксия, докинг, нейропротекция, Ноопепт, пролилгидроксилаза, транскрипционный фактор HIF-1.

**СПИСОК СОКРАЩЕНИЙ** CREB – белок, связывающий cAMP-зависимый элемент (cAMP-responsive element-binding protein); NFAT – ядерный фактор активированных T-клеток (nuclear factor of activated T-cells); NF-κB – транскрипционный фактор (nuclear factor kappa-light-chain-enhancer of activated B-cells); STAT1 – фактор транскрипции, преобразователь сигналов и активатор транскрипции (signal transducer and activator of transcription); GAS – последовательность, активируемая интерфероном γ (interferon-gamma-activated sequence); VDR – рецептор витамина D (vitamin D3 receptor); HSF1 – транскрипционный фактор, регулирующий синтез белков теплового шока (heat shock transcriptional factor 1); HIF-1 – фактор, индуцируемый гипоксией (hypoxia-inducible factor 1).

## ВВЕДЕНИЕ

Ноопепт (этиловый эфир N-фенилацетил-L-пролилглицина) разработан в качестве лекарственного средства в НИИ фармакологии им. В.В. Закусова. Синтез препарата основан на оригинальной гипотезе пептидного дизайна, согласно которой с использованием соответствующих аминокислот воспроизводятся структуры, близкие к известным психотропным средствам [1]. Непептидным про-

образом Ноопепта был ноотропный препарат Пирацетам. Фармакологическая активность нового соединения оказалась в целом сходной с активностью Пирацетама, однако она проявлялась в дозах в 1000 раз более низких [2, 3]. Кроме того, у Ноопепта более выражены анксиолитические [4] и нейропротективные свойства [5–7].

Клиническое изучение Ноопепта (ЛС 015770) подтвердило обнаруженные в эксперименте его ноотроп-

ные эффекты. У больных с мягкими когнитивными нарушениями цереброваскулярного и посттравматического генеза препарат ослаблял когнитивные нарушения, проявлял анксиолитическое и вегетостабилизирующее действие ([www.noopept.ru](http://www.noopept.ru)).

Механизм действия Ноопепта изучается со времени его синтеза. Установлено, что препарат усиливает экспрессию NGF и BDNF в гиппокампе [8], проявляет холино-позитивные свойства на поведенческом и нейрональном уровне [9], ослабляет окислительный стресс и усиливает активность антиоксидантных систем [7, 10], вызывает угнетение индуцируемых стрессом киназ pSAPK/JNK и pERK1 [11]. Однако изучение первичных взаимодействий Ноопепта более чем со 100 известными рецепторными образованиями, выполненное согласно нашему протоколу компанией CEREP (Франция), не привело к ожидаемому выявлению первичных мишеней. Вместе с тем, обнаруженный широкий спектр нейрохимических и фармакологических эффектов Ноопепта определил необходимость дальнейшего поиска его мишеней.

С целью получения более полной информации о мишенях Ноопепта мы проанализировали *in vitro* влияние препарата на ДНК-связывающую активность фармакологически значимых биомишеней – транскрипционных факторов (ТФ) CREB, NFAT, NF-κB, p53, STAT1, GAS, VDR, HSF1, HIF-1. Выявив избирательное влияние Ноопепта на HIF-1, мы изучили эффект препарата на активность этого транскрипционного фактора в условиях моделируемой гипоксии *in vitro*.

## ЭКСПЕРИМЕНТАЛЬНАЯ ЧАСТЬ

### Культивирование клеток

В работе использовали клетки линии НЕК293 (перевиваемые клетки почки эмбриона человека; Российская коллекция клеточных культур, Институт цитологии РАН, Санкт-Петербург). Клетки культивировали при 37°C, 5% CO<sub>2</sub> в среде DMEM («Биолот», Россия), содержащей 10% эмбриональной телячьей сыворотки (Sigma, США), 2 мМ L-глутамин, 50 мкг/мл гентамицина сульфата, 2,5 мкг/мл амфотерицина В («ПанЭко», Россия).

Влияние Ноопепта на ДНК-связывающую активность транскрипционных факторов изучали с использованием люциферазных репортерных конструкций, содержащих сайты связывания CREB, NFAT, NF-κB, p53, STAT1, GAS, VDR, HSF1 и HIF-1 в соответствии с [12].

Для проведения трансфекций клетки линии НЕК293 рассаживали по  $4 \times 10^3$  клеток в лунки 96-луночных планшетов в 100 мкл среды DMEM

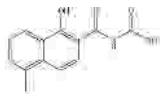
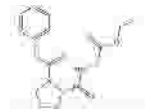
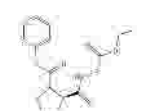
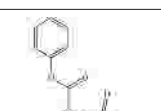
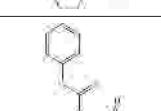
без антибиотика, содержащей 10% эмбриональной телячьей сыворотки, 2 мМ L-глутамин. Репортерные векторные конструкции, содержащие сайты связывания транскрипционных факторов CREB, NFAT, NF-κB, p53, STAT1, GAS, VDR, HSF1 и HIF-1, получены на основе плазмидного вектора pTL-Luc (Panomics, США; несет ген люциферазы *Photinus pyralis*) [13]. Клетки НЕК293 транзитивно трансфицировали данными конструкциями с помощью реагента Липофектамин 2000 (Invitrogen, США) согласно рекомендациям изготовителя. Через 6 ч после трансфекции среду заменяли средой с антибиотиком (DMEM, 10% эмбриональной телячьей сыворотки, 2 мМ L-глутамин, 50 мкг/мл гентамицина сульфата) и через 18 ч добавляли изучаемые препараты (Ноопепт, 10 мкМ; Пирацетам, 1 мМ). Клетки инкубировали в присутствии Ноопепта или Пирацетама в течение еще 24 ч. Люциферазную активность в клеточных лизатах определяли с помощью набора Dual Luciferase Reporter Assay System (Promega, США) на планшетном анализаторе 2300 EnSpire® Multimode Plate Reader (Perkin Elmer, США). В качестве внутреннего контроля трансфекции применяли котрансфекцию с плазмидой pRL-TK (Promega, США), кодирующей ген люциферазы *Renilla reniformis*. Значения люминесценции *P. pyralis* нормировали по люминесценции *R. reniformis* в каждом измерении.

Экспериментальное моделирование гипоксии осуществляли с использованием CoCl<sub>2</sub>, который вызывает стабилизацию HIF-1, т.е. является фармакологическим индуктором гипоксии [14]. Люциферазная конструкция для анализа активности HIF-1 содержит четыре копии консенсусной последовательности 5'-ACGTG-3' – сайта связывания белка HIF-1 (конструкция HIF-1-Luc). Клетки, трансфицированные плазмидным вектором HIF-1-Luc, предварительно инкубировали с Ноопептом в течение 8 ч (конечные концентрации 1, 10, 100 мкМ; двукратное внесение через каждые 4 ч), далее вносили индуктор гипоксии CoCl<sub>2</sub> в рабочей концентрации 50 мкМ и продолжали совместную инкубацию Ноопепта и CoCl<sub>2</sub> в течение 16 ч, после чего люциферазную активность определяли как описано выше.

### Статистический анализ

Среднее арифметическое значений, полученных по двум повторам в трех независимых экспериментах, и стандартную ошибку среднего рассчитывали с помощью программы Statistica 6.1 (StatSoft. Inc., США). Экспериментальные группы сравнивали с использованием парного *t*-критерия Стьюдента для зависимых выборок.

*In silico* оценка энергий взаимодействия лиганда и рецептора

Код лиганда	Структура лиганда	$\Delta G_{\text{FlexX}}^1$ кДж/моль <sup>1</sup>	RMSD <sup>2</sup>	$\Delta G_{\text{HYDE}}^3$ кДж/моль <sup>3</sup>	LE <sup>4</sup>
ZINC24800213		-31.8	0.42	-63	0.79 (B)
ZINC1542824_L		-17.0	0.48	-44	0.45 (CB)
ZINC3812682_D		-17.5	1.10	-42	0.42 (CB)
ZINC76075_L		-24.1	0.47	-38	0.53 (B)
PA2_L		-27.2	0.55	-49	0.55 (B)
PA2_D		-28.2	0.73	-41	0.47 (CB)

<sup>1</sup>  $\Delta G_{\text{FlexX}}$  – свободная энергия связывания, кДж/моль.

<sup>2</sup> RMSD – среднеквадратичное отклонение положения лиганда в активном сайте.

<sup>3</sup>  $\Delta G_{\text{HYDE}}$  – энергия сродства лиганда с сайтом связывания, кДж/моль.

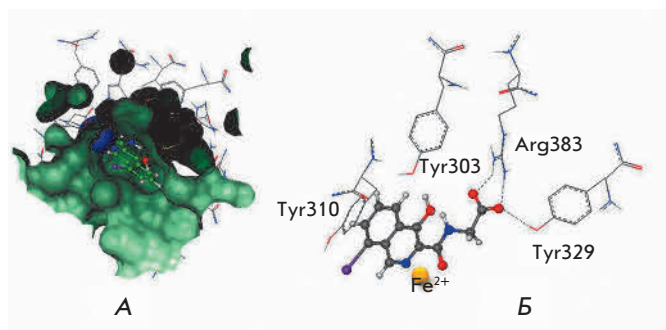
<sup>4</sup> LE – эффективность лиганда ( $LE = |\Delta G_{\text{HYDE}}|/N$  [22, 23], где  $N$  – количество тяжелых, т.е. не водородных атомов), при этом эффективность лиганда может быть оценена, как В – высокая эффективность, СВ – эффективность выше средней [22].

**Молекулярный докинг**

Для построения и валидации модели докинга использовали данные о трехмерной структуре белка-мишени – пролилгидроксилазы 2 (PHD2; hypoxia-inducible factor-*L*-proline, 2-oxoglutarate:oxygen oxidoreductase [КФ 1.14.11.29]; код PDB: 2G19) – в комплексе с «нативным» ингибитором (код ZINC: 24800213; IC<sub>50</sub> 1.4 мкМ) [15, 16]. В качестве лигандов рассматривали: Ноопепт и его *D*-энантиомер (коды ZINC: 1542824 и 3812682 соответственно); метаболит Ноопепта *L*-*N*-фенилацетилпролин (код ZINC: 76075), а также стереоизомеры описанного ранее [31] ингибитора пролилгидроксилазы (шифры PA2L

и PA2D) (таблица). Геометрические параметры большинства молекул извлечены из базы данных ZINC [17] или смоделированы с помощью программы ChemCraft v1.7 [18] и оптимизированы методом HF/6-311G(d,p) в программе GAUSSIAN 09 C.01 [19]. Подготовка структур мишени и лигандов к докингу, как и все процедуры докинга, проведены с помощью программы LeadIT 2.1.8 [20]. Все квантово-химические расчеты проведены на кластерном суперкомпьютере Уфимского института химии РАН.

Область окружения «нативного» ингибитора (ZINC: 24800213) соседними аминокислотными остатками составляет 6.5 Å и содержит Arg383, Tyr310,



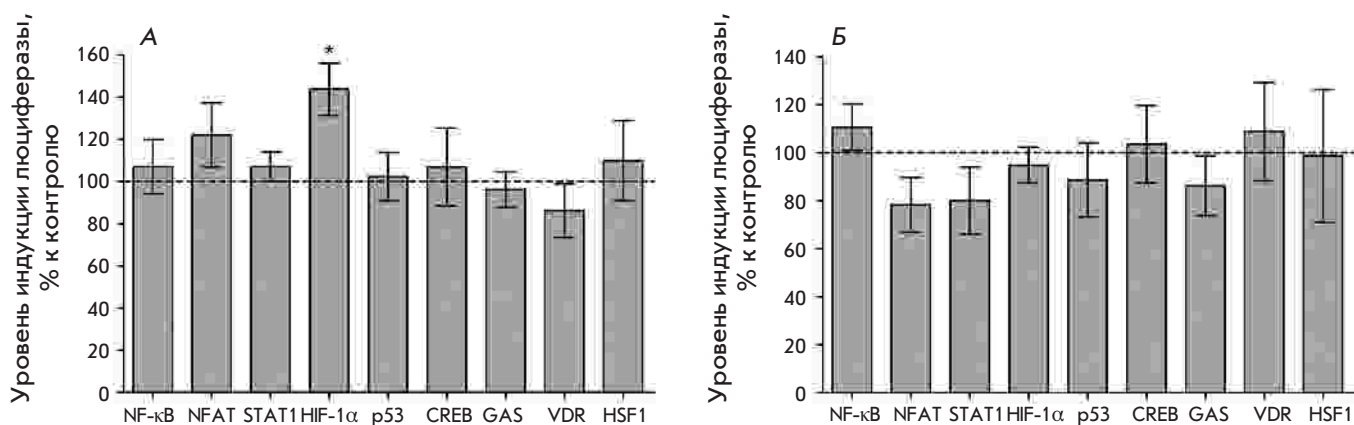
**Рис. 1.** Анализ активного сайта фермента пролилгидролазы 2. А – активный центр, занятый «нативным» лигандом. Б – взаимодействие ингибитора с аминокислотными остатками фермента (докинг-решение)

Tyr303 и Fe<sup>2+</sup>. Анализ активного центра фермента 2G19 показал, что Arg383 и Tyr329 образуют водородные связи с карбоксильной группой «нативного» ингибитора ZINC 24800213; Tyr310 и Tyr303 формируют π-π-электронное взаимодействие с ароматическими кольцами этого лиганда. Аминокислотные остатки Trp389, Trp258, Met299 и Ile256 образуют гидрофобный карман (рис. 1). При подготовке структуры фермента к процедуре докинга из активного центра удалили все молекулы воды. Редокинг «нативного» лиганда в активный сайт фермента PHD2 точно воспроизводит способ связывания лиганда и фермента, определенный кристаллографически. Среднеквадратичное отклонение составляет 0.44 Å. Подпрограмма FlexX [21] позволяет провести проце-

ду докинга лигандов (таблица) и оценить энергию связывания лиганда и рецептора в активном сайте. Количество докинг-решений может быть большим, и выбор оптимального решения основывается на минимальном значении энергии связывания в совокупности с минимальным значением среднеквадратичного отклонения (RMSD) позиции лиганда в сайте связывания. Далее выбранная позиция подвергается еще одному этапу расчета: оценке энергии сродства лиганда с сайтом связывания ( $\Delta G_{HYDE}$ , кДж/моль) и оценке эффективности лиганда [22, 23]. Подробный алгоритм расчета описан в работе [22]. Отмечается, что оптимальным является использование двух последовательных этапов выбора соединения-лидера среди лигандов.

### РЕЗУЛЬТАТЫ И ОБСУЖДЕНИЕ

Данные, представленные на рис. 2А, свидетельствуют о том, что инкубация с Ноопептом в концентрации 10 мкМ в течение 24 ч увеличивала ДНК-связывающую активность HIF-1 на 43% и не вызывала статистически значимых изменений ДНК-связывающей активности факторов CREB, NFAT, NF-κB, p53, STAT1, GAS, VDR и HSF1. Как следует из данных, представленных на рис. 3, Ноопепт в концентрации 10 и 100 мкМ увеличивал уровень индукции люциферазы. С использованием препарата сравнения показано, что Пирацетам ни в эквимолярной (10 мкМ, данные не представлены), ни в более высокой концентрации (1 мМ) не вызывает статистически значимых изменений ДНК-связывающей активности изученных транскрипционных факторов (рис. 2Б).



**Рис. 2.** Влияние Ноопепта, 10 мкМ (А) и Пирацетама, 1 мМ (Б) на базальную ДНК-связывающую активность транскрипционных факторов NF-κB, NFAT, STAT1, HIF-1, p53, CREB, GAS, VDR, HSF1 *in vitro*. Статистическую значимость различий оценивали с помощью парного *t*-критерия Стьюдента для зависимых выборок ( $n = 3$ , \* $p < 0.05$ )

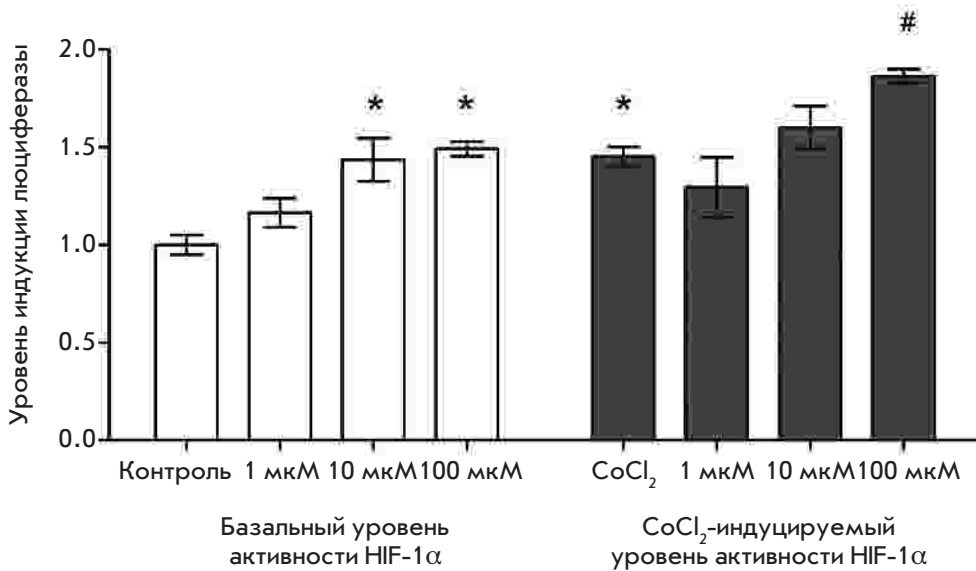


Рис. 3. Влияние Ноопепта на базальную и индуцированную активность HIF-1. Группа «контроль» – значения базальной активности HIF-1 в нестимулированных клетках; группа «CoCl<sub>2</sub>» – значения активности HIF-1 в CoCl<sub>2</sub>-стимулированных клетках. Данные представлены в виде среднего арифметического ± стандартная ошибка среднего (n = 3; \*p < 0.05 по отношению к группе «контроль»; #p < 0.05 по отношению к группе «CoCl<sub>2</sub>»)

На следующем этапе работы анализировали влияние Ноопепта на ДНК-связывающую активность HIF-1 в присутствии фармакологического миметика гипоксии CoCl<sub>2</sub>. В полном соответствии с опубликованными данными на фоне действия CoCl<sub>2</sub> наблюдали повышение активности HIF-1. Добавление Ноопепта в концентрации 10 и 100 мкМ приводило к дополнительному увеличению HIF-1-зависимой люциферазной активности (рис. 3). Таким образом, впервые установлено, что Ноопепт обладает способностью увеличивать как базальную, так и индуцированную фармакологическим миметиком гипоксии активность HIF-1 *in vitro*.

Фактор, индуцируемый гипоксией (HIF-1), является гетеродимером, состоящим из двух субъединиц – чувствительной к кислороду субъединицы HIF-1α и конститутивно экспрессирующейся HIF-1β. Гипоксия способствует возрастанию уровня HIF-1α, его димеризации с HIF-1β, мобилизации коактиваторов (p300/CBP) и связыванию этого комплекса с элементом HRE (hypoxia-response element) в регуляторных областях генов-мишеней. В нормоксических условиях зависимое от кислорода гидроксигидроксилирование остатков пролина в молекуле HIF-1α пролилгидроксилазами необходимо для связывания компонентом убиквитин-протеин-лигазы E3 – белком Гипшеля–Линдау (VHL). Убиквитинилированный HIF-1α становится мишенью для деградации 26S протеасомами. В присутствии кислорода остаток аспарагина в C-концевом транскрипторном домене (C-TAD) HIF-1α гидроксигидроксилируется аспарагингидроксилазой (FIH1, factor inhibiting HIF-1), что блокирует

его взаимодействие с коактиватором транскрипции p300/CBP. Таким образом, при нормоксии PHD и FIH инактивируют HIF-1α, подавляя зависимую от HIF-1 экспрессию генов-мишеней. В условиях гипоксии активность PHD и FIH снижается, что приводит к уменьшению деградации HIF-1α и запуску транскрипции зависимых от него генов [24]. Показано [25], что HIF-1 активирует в общей сложности до 100 генов. На рис. 4 представлены основные мишени HIF-1, к числу которых относятся гены, вовлеченные в процессы ангиогенеза за счет активации фактора роста эндотелия сосудов, усиления синтеза эритропоэтина, активации систем транспорта глюкозы через мембраны, цитопroteкции нейротрофическими факторами, нормализации клеточного цикла и метаболизма на уровне митохондрий, в том числе активности антиоксидантных ферментов – супероксиддисмутазы и каталазы. Совокупность этих эффектов обеспечивает осуществление адаптивной реакции на гипоксическое воздействие. Наряду с этим HIF-1 влияет на состояние многих нейротрансмиттерных систем – он активирует белок, контролирующий рецепторы ГАМК (GABARBP) [26], повышает активность тирозингидроксилазы [27]. Описаны тесные взаимоотношения HIF-1 с холинорецепторами [28].

Как показано в нашей работе, Ноопепт вызывает зависимое от концентрации увеличение базальной ДНК-связывающей активности HIF-1. При стабилизации HIF-1 с помощью CoCl<sub>2</sub>, химического индуктора этого транскрипционного фактора [29, 30], Ноопепт обеспечивает дополнительное нарастание ДНК-связывающей активности HIF-1. Эффект в от-

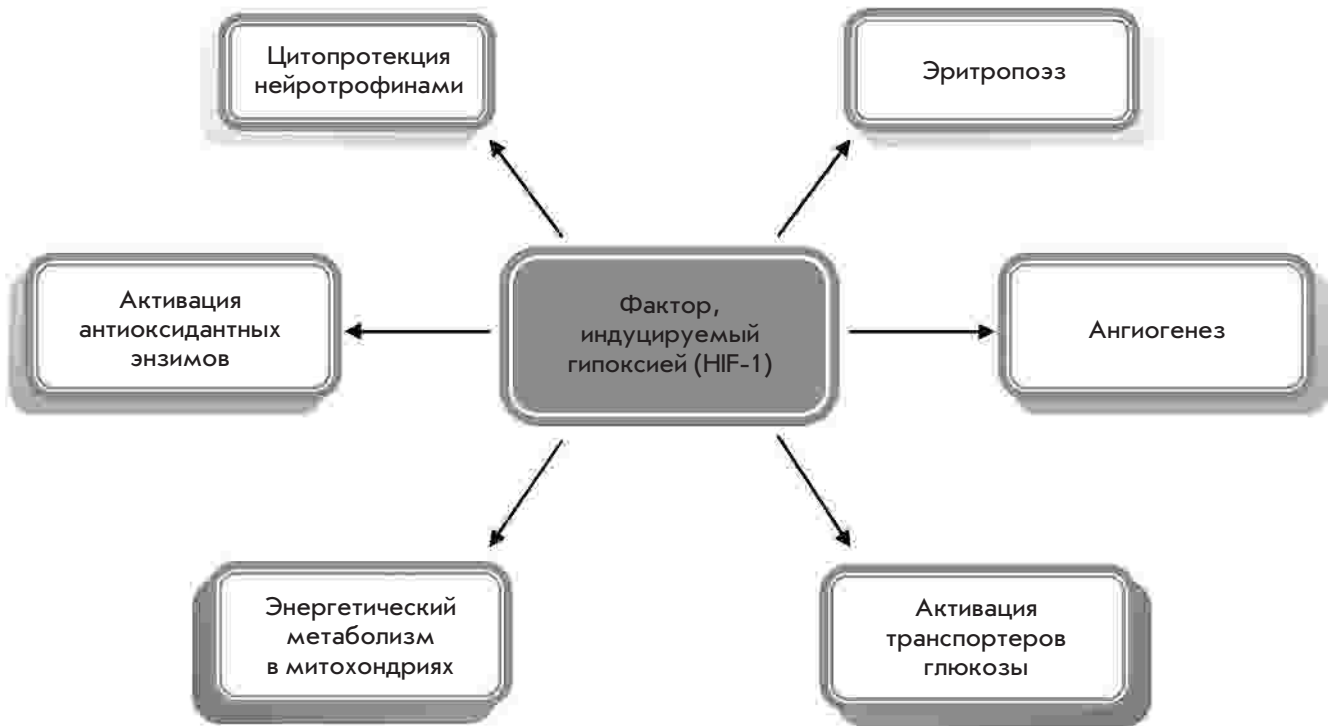


Рис. 4. Фактор, индуцируемый гипоксией HIF-1, и его мишени. Модифицировано по [35]

ношении HIF-1 специфичен для Ноопепта: классический ноотропный препарат Пирацетам не влияет на активность данного транскрипционного фактора. Ноопепт увеличивает ДНК-связывающую активность только HIF-1, тогда как активность других транскрипционных факторов (CREB, NFAT, NF-κB, p53, STAT1, GAS, VDR и HSF1) не повышается. Поскольку пролилгидроксилаза непосредственно участвует в деактивации HIF-1, а аналоги пролина описаны как эффективные ингибиторы этого фермента [31], можно предположить, что увеличение ДНК-связывающей активности HIF-1 при действии Ноопепта связано с ингибированием этого фермента.

Сопоставление структуры ингибиторов пролилгидроксилазы, представленных в работе Ма и соавт. [31], и метаболитов Ноопепта позволяет сделать вывод о сходстве соединения PA2 (бензилоксикарбонилпролин) с N-концевым фрагментом молекулы Ноопепта – N-фенилацетилпролином (таблица) [32, 33]. Следует принять во внимание, что диапазон концентраций, в которых PA2 угнетает пролилгидроксилазу ( $K_i = 2.38 \text{ мкМ}$ ,  $EC_{50} = 3.17 \text{ мкМ}$ ) [31], близок к выявленному нами уровню эффективных концентраций для Ноопепта.

Согласно результатам молекулярного докинга Ноопепт и L-изомер N-фенилацетилпролина связываются с активным центром пролилгидроксилазы

с эффективностью, сопоставимой с эффективностью L-изомера PA2L (таблица). Качественная оценка эффективности лиганда оценивается как высокая. L-стереоизомер N-фенилацетилпролина в активном сайте фермента формирует водородные связи с Arg383 и Tyr329, а молекула PA2L координируется атомами кислорода вокруг атома железа (рис. 5). Интересно отметить, что фармакологически неактивный D-изомер Ноопепта имеет более низкую энергию связывания. Таким образом, можно предположить, что Ноопепт и его метаболит – L-изомер N-фенилацетилпролина, могут связываться с активным сайтом пролилгидроксилазы 2, возможно, ингибировать ее ферментативную активность. Очевидно, что для окончательного заключения требуется экспериментальное изучение действия Ноопепта и его метаболита на активность пролилгидроксилазы. Дополнительного изучения также требует возможное взаимодействие Ноопепта с аспарагингидроксилазой.

Возвращаясь к вопросу о взаимодействии Ноопепта с HIF-1 (при отсутствии такого взаимодействия у Пирацетама), следует отметить, что Ноопепт сконструирован в качестве дипептидного аналога Пирацетама. Однако эффективные дозы Ноопепта на три порядка меньше, чем у Пирацетама [2]. Новый препарат и его непептидный

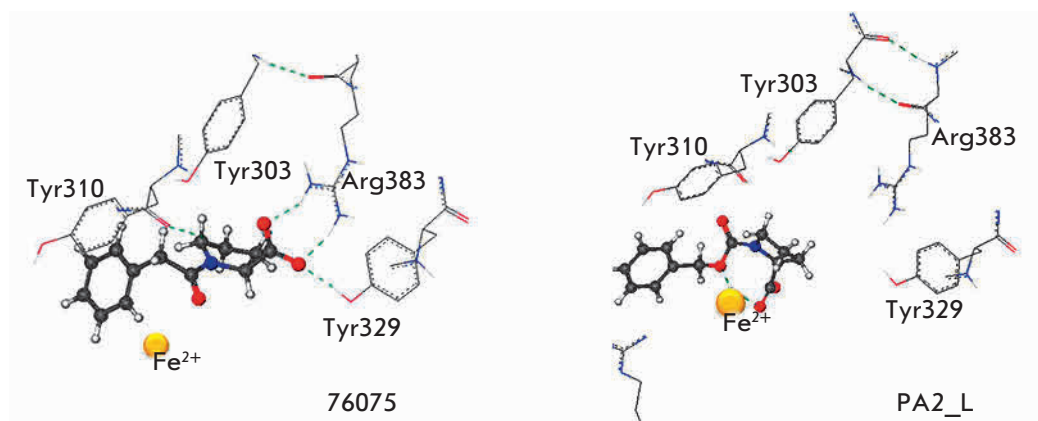


Рис. 5. Результаты молекулярного докинга: расположение лигандов в активном сайте пролилгидроксилазы (водородные связи показаны пунктирной линией)

прообраз различаются и по спектру фармакологической активности. Так, Ноопепт облегчал все фазы процессинга информации, а Пирацетам влиял преимущественно на начальные фазы [1]. Ноопепт проявляет выраженные нейропротективные свойства, тогда как у Пирацетама они, в зависимости от оцениваемого показателя, либо слабо выражены [7, 34], либо отсутствуют [35]. С фармакологических позиций такие различия должны иметь в своей основе особенности механизма действия, к которым можно отнести обнаруженный нами эффект взаимодействия Ноопепта с HIF-1.

Независимо от деталей указанного взаимодействия важно, что этот пролинсодержащий дипептид повышает активность HIF-1. Известно, что активация системы HIF рассматривается в настоящее время как один из основных механизмов нейропротекции при гипоксии, ишемии мозга, нейродегенеративных заболеваниях [24, 36]. В ходе многолетнего изучения именно эти состояния определили в качестве фармакологических мишеней действия Ноопепта на широком наборе соответствующих экспериментальных моделей.

Вслед за способностью Ноопепта повышать выживаемость животных в условиях гипербарической гипоксии [37], выявленной в самом начале изучения этого дипептида, было показано, что он уменьшает величину очага ишемического повреждения мозга на моделях циркуляторной гипоксии, например, кортикального фотоиндуцированного тромбоза [6] и перевязки среднелобной артерии [5]. Способность Ноопепта ослаблять выраженность окислительного стресса установлена как на нейрональных культурах различного типа: зернистых клетках мозжечка [35], культуре кортикальных нейронов абортинированных плодов с диагностированным синдромом Дауна [7], культуре PC12 [38] и культуре SH-SY5Y [39], так и в условиях целого организма в эксперименте на мозговой ткани и плазме крови крыс [40].

Способность усиливать активность супероксиддисмутазы и каталазы показана как в эксперименте [10], так и в клинических условиях [34].

На моделях болезни Альцгеймера выявлена способность Ноопепта не только устранять проявления когнитивного дефицита [41], но и оказывать нейропротективное действие, приводящее к ослаблению нарушений окислительных процессов и кальциевого гомеостаза, усилению нейрогенеза, предупреждению агрегации тау-белков, вызванной фрагментом  $\beta$ -амилоида<sub>25-35</sub> [38], устранению дефицита NGF и BDNF на фоне введения в желудочки мозга диабетогенного токсина стрептозотоцина [42]. Ноопепт способен уменьшать цитотоксический эффект агрегированного  $\alpha$ -синуклеина на клеточной модели паркинсонизма [39]. Все эти многочисленные эффекты могут быть объяснены активацией транскрипционного фактора HIF-1.

За последние годы нами показано, что Ноопепт оказывает антидиабетическое действие на модели стрептозотоцинового диабета [43]. Этот факт трактовался нами как результат многофакторного метаболического действия препарата – ослабления свойственного диабету дефицита антиоксидантных систем и нейротрофических факторов, усиленной продукции провоспалительных цитокинов [44]. Полученные в настоящей работе результаты привлекли наше внимание к данным о роли HIF-1 в развитии патологических процессов при сахарном диабете. Так, сообщается о способности инсулина нарушать образование HIF-1 и о роли дефицита этого фактора в развитии сахарного диабета типа 1 и 2, а также его осложнений [45]. Нарушение функции систем транспорта глюкозы GLUT1 и GLUT3 через клеточные барьеры, наблюдаемое при дефиците HIF-1, способствует развитию резистентности к инсулину как при болезни Альцгеймера, так и при сахарном диабете [46]. Доказано участие HIF-1 в экспрессии инкретинных – важнейших факторов цитопротекции

β-клеток поджелудочной железы [47]. Совокупность этих данных позволяет предположить, что в реализации антидиабетического эффекта Ноопепта, в том числе в выявленной нами недавно способности этого препарата повышать уровень инкретина – глюкагоноподобного пептида-1 (ГПП-1) [44], участвует его HIF-1-позитивный эффект.

### ЗАКЛЮЧЕНИЕ

Полученные в настоящей работе данные о способности эффективного ноотропного и нейропротективного препарата Ноопепт вызывать увеличение ДНК-связывающей активности HIF-1 позволяют по-новому трактовать широкий спектр его действия, а именно, считать, что HIF-1-позитивный эффект препарата можно рассматривать как первичный механизм его действия. Уточнение молекулярных механизмов, лежащих в основе HIF-1-позитивного действия Ноопепта, безусловно, требует дальнейшего исследования, но наличие этого эффекта, несомнен-

но, имеет важное значение, поскольку позволяет объяснить практически все известные на сегодняшний день эффекты Ноопепта и, возможно, других биологически активных Pro-Gly-пептидов. Эти данные предоставляют дополнительные доказательства в пользу современных представлений о важной роли компонентов HIF-1-зависимого сигнального пути и запускаемых этим транскрипционным фактором компенсационных процессов в механизмах нейропротекции. ●

*Исследования выполнены с использованием оборудования ЦКП «Биомика» (Отделение биохимических методов исследований и нанобиотехнологии РЦКП «Агидель», Уфа) и УНУ «КОДИНК».*

*Работа выполнена при финансовой поддержке гранта Президента РФ для ведущих научных школ (НШ 5923.2014.4).*

### СПИСОК ЛИТЕРАТУРЫ

1. Гудашева Т.А. // Вестн. РАМН. 2011. № 7. С. 8–16.
2. Seredenin S.B., Voronina T.A., Gudasheva T.A., Ostrovskaya R.U., Rozantsev G.G., Skoldinov A.P., Trofimov S.S., Halikas J., Garibova T.L. Biologically active N-acylprolyldipeptides having anti-amnesic, antihypoxic effects. Patent 5.439.930 USA. 1995.
3. Gudasheva T.A., Voronina T.A., Ostrovskaya R.U., Rozantsev G.G., Vasilevich N.I., Trofimov S.S., Kravchenko E.V., Skoldinov A.P., Seredenin S.B. // Eur. J. Med. Chem. 1996. V. 31. P. 151–157.
4. Ostrovskaya R.U., Seredenin S.B., Voronina T.A., Molodavkin G.M., Gudasheva T.A. // In Animal models in biological psychiatry / Ed. Kalueff A.V. N.-Y.: Nova Sci. Publ. Inc., 2006. P. 165–182.
5. Гаврилова С.А., Ус К.С., Островская Р.У., Кошелев В.Б. // Эксп. клин. фармакология. 2006. Т. 69. № 4. С. 16–18.
6. Ostrovskaya R.U., Romanova G.A., Barskov I.V., Shanina E.V., Gudasheva T.A., Victorov I.V., Voronina T.A., Seredenin S.B. // Behav. Pharmacol. 1999. V. 10. P. 549–553.
7. Pealsman A., Hoyo-Vadillo C., Seredenin S.B., Gudasheva T.A., Ostrovskaya R.U., Busciglio J. // Int. J. Dev. Neurosci. 2003. V. 21. P. 117–124.
8. Островская Р.У., Гудашева Т.А., Цаплина А.П., Вахитова Ю.В., Салимгареева М.Х., Ямиданов Р.С., Середенин С.Б. // Бюл. эксп. биол. и мед. 2008. Т. 146. № 9. С. 309–312.
9. Островская Р.У., Мирзоев Т.Х., Фирова Ф.А., Трофимов С.С., Гудашева Т.А., Греченко Т.Н., Гутырчик Е.Ф., Баркова Е.Б. // Эксп. клин. фармакология. 2001. Т. 64. № 2. С. 11–14.
10. Менджеричкий А.М., Лысенко А.В., Демьяненко С.В., Прокофьев В.Н., Гудашева Т.А., Островская Р.У. // Нейрохимия. 2003. Т. 20. № 4. С. 281–286.
11. Островская Р.У., Вахитова Ю.В., Салимгареева М.Х., Ямиданов Р.С., Садовников С.В., Капица И.Г., Середенин С.Б. // Эксп. клин. фармакология. 2010. Т. 73. № 12. С. 2–5.
12. Phippard D., Manning A.M. // Methods Mol. Biol. 2003. V. 225. P. 19–23.
13. Салимгареева М.Х., Садовников С.В., Фарафонтон Е.И., Зайнуллина Л.Ф., Вахитов В.А., Вахитова Ю.В. // Прикладная биохимия и микробиология. 2014. Т. 50. № 2. С. 219–225.
14. Piret J.P., Mottet D., Raes M., Michiels C. // Ann. N.Y. Acad. Sci. 2002. V. 973. P. 443–447.
15. Rose P.W., Prlić A., Bi C., Bluhm W.F., Christie C.H., Dutta S., Green R.K., Goodsell D.S., Westbrook J.D., Woo J., et al. // Nucl. Acids Res. 2015. V. 43. P. 345–356. <http://www.rcsb.org/>
16. McDonough M.A., Li V., Flashman E., Chowdhury R., Mohr C., Liénard B.M., Zondlo J., Oldham N.J., Clifton I.J., Lewis J., et al. // Proc. Natl. Acad. Sci. USA. 2006. V. 103. № 26. P. 9814–9819.
17. Irwin J.J., Shoichet B.K. // J. Chem. Inform. Model. 2005. V. 45. P. 177–182.
18. Zhurko G.A., Zhurko D.A. // ChemCraft. v. 1.7. 2013.
19. Frisch M.J., Trucks G.W., Schlegel H.B., Scuseria G.E., Robb M.A., Cheeseman J.R., Scalmani G., Barone V., Mennucci B., Petersson G.A., et al. // Gaussian 09, Revision C.01, Gaussian Inc., Wallingford CT, 2010.
20. Claussen H., Dramburg I., Gastreich M., Hindle S., Kaemper A., Kramer B., Lilienthal M., Mueller G., Rarey M., Wefing S., et al. // LeadIT. V. 2.1.8 BioSolveIT CmbH, 2014.
21. Rarey M., Kramer B., Lengauer T., Klebe G. // J. Mol. Biol. 1996. V. 261. P. 470–489.
22. Schneider N., Hindle S., Lange G., Klein R., Albrecht J., Briem H., Beyer K., Claußen H., Gastreich M., Lemmen Ch., Rarey M. // J. Comput Aided Mol. Des. 2012. V. 26. P. 701–723.
23. Kuntz I.D., Chen K., Sharp K.A., Kollman P.A. // Proc. Natl. Acad. Sci. USA. 1999. V. 96. № 18. P. 9997–10002.
24. Semenza G. // Cell. 2012. V. 148. № 3. P. 399–408.
25. Zheng H., Fridkin M., Youdim M. // Persp. Med. Chem. 2015. V. 7. P. 1–8.
26. Park S.H., Kim B.R., Lee J.H., Park S.T., Lee S.H., Dong S.M., Rho S.B. // Cell Signal. 2014. V. 26. № 7. P. 1506–1513.
27. Schnell P.O., Ignacak M.L., Bauer A.L., Striet J.B., Paulding W.R., Czyzyk-Krzeska M.F. // J. Neurochem. 2003. V. 85. № 2. P. 483–491.

28. Hirota K., Ryo Fukuda R., Takabuchi S., Kizaka-Kondoh S., Adachi T., Kazuhiko Fukuda K., Semenza G.L. // *J. Biol. Chem.* 2004. V. 279. № 40. P. 41521–41528.
29. Epstein A.C., Gleadle J.M., McNeill L.A., Hewitson K.S., O'Rourke J., Mole D.R., Mukherji M., Metzen E., Wilson M.I., Dhanda A., et al. // *Cell.* 2001. V. 107. № 1. P. 43–54.
30. Yuan Y., Hilliard G., Ferguson T., Millhorn D.E. // *J. Biol. Chem.* 2003. V. 278. № 18. P. 15911–15916.
31. Ma X., Wang X., Cao J., Geng Z., Wang Z. // *PLoS One.* 2014. V. 9. № 4. e95692.
32. Бойко С.С., Жердев В.П., Дворянинов А.А., Гудашева Т.А., Островская Р.У., Воронина Т.А., Розанцев Г.Г., Середенин С.Б. // *Эксп. клин. фармакология.* 1997. Т. 60. № 2. С. 101–104.
33. Gudasheva T.A., Boyko S.S., Akrapov V.Kh., Ostrovskaya R.U., Skoldinov S.P., Rozantsev G.G., Voronina T.A., Zherdev V.P., Seredenin S.B. // *FEBS Lett.* 1996. V. 391. P. 149–151.
34. Федорова Т.Н., Ус К.С., Островская Р.У. // *Нейрохимия.* 2007. Т. 24. № 1. С. 69–73.
35. Андреева Н.А., Стемальшук Е.В., Исаев Н.К., Островская Р.У., Гудашева Т.А., Викторов И.В. // *Бюл. эксп. биол. и мед.* 2000. Т. 130. № 10. С. 418–421.
36. Zhang Z., Yan J., Chang Y., ShiDu Yan S., Shi H. // *Curr. Med. Chem.* 2011. V. 18. № 28. P. 4335–4343.
37. Фирова Ф.А. Спектр нейротропной активности оригинального замещенного пролил-дипептида ГВС-111: Автореф. дис. ... канд. мед. наук. М.: Ин-т фармакологии РАМН, 1994.
38. Ostrovskaya R.U., Vakhitova Y.V., Kuzmina U.Sh., Salimgareeva M., Zainullina L.F., Gudasheva T.A., Vakhitov V.A., Seredenin S.B. // *J. Biomed. Sci.* 2014. V. 21. P. 74–82.
39. Jia X., Gharibyan A., Öhman A., Liu Y., Olofsson A., Morozova-Roche L.A. // *J. Mol. Biol.* 2011. V. 414. P. 699–712.
40. Лысенко А.В., Ускова Н.И., Островская Р.У., Гудашева Т.А., Воронина Т.А. // *Эксп. клин. фармакология.* 1997. Т. 60. № 3. С. 15–18.
41. Ostrovskaya R.U., Gruden M.A., Bobkova N.A., Sewell R.D.E., Gudasheva T.A., Samokhin A.N., Seredenin S.B., Noppe W., Sherstnev V.V., Morozova-Roche L.A. // *J. Psychopharmacol.* 2007. V. 21. P. 611–619.
42. Островская Р.У., Цаплина А.П., Вахитова Ю.В., Салимгареева М.Х., Ямиданов Р.С. // *Эксп. клин. фармакология.* 2010. Т. 73. № 1. С. 2–6.
43. Островская Р.У., Озерова И.В., Гудашева Т.А., Капица И.Г., Иванова Е.А., Воронина Т.А., Середенин С.Б. // *Бюл. эксп. биол. и мед.* 2013. Т. 156. № 9. С. 317–321.
44. Островская Р.У., Золотов Н.Н., Озерова И.В., Иванова Е.А., Капица И.Г., Тарабан К.В., Мичунская А.Б., Воронина Т.А., Гудашева Т.А., Середенин С.Б. // *Бюл. эксп. биол. и мед.* 2014. Т. 157. № 3. С. 321–327.
45. Cheng K., Ho K., Stokes R., Scott C., Lau S.M., Hawthorne W.J., O'Connell P.J., Loudovaris T., Kay T.W., Kulkarni R.N., et al. // *J. Clin. Invest.* 2010. V. 120. № 6. P. 2171–2183
46. Liu Y., Liu F., Iqbal K., Grundke-Iqbal I., Gong C.X. // *FEBS Lett.* 2008. V. 582. P. 359–364.
47. van de Velde S., Hogan M.F., Montminy M. // *Proc. Natl. Acad. Sci. USA.* 2011. V. 108. № 41. P. 16876–16882.